

قياس توزع تدفق النيوترونات Slow Neutron Flux Distribution
البطيئة باستخدام Measurements Using Small
المولدات النيوترونية Neutron Generators

د . جهاد ملحم

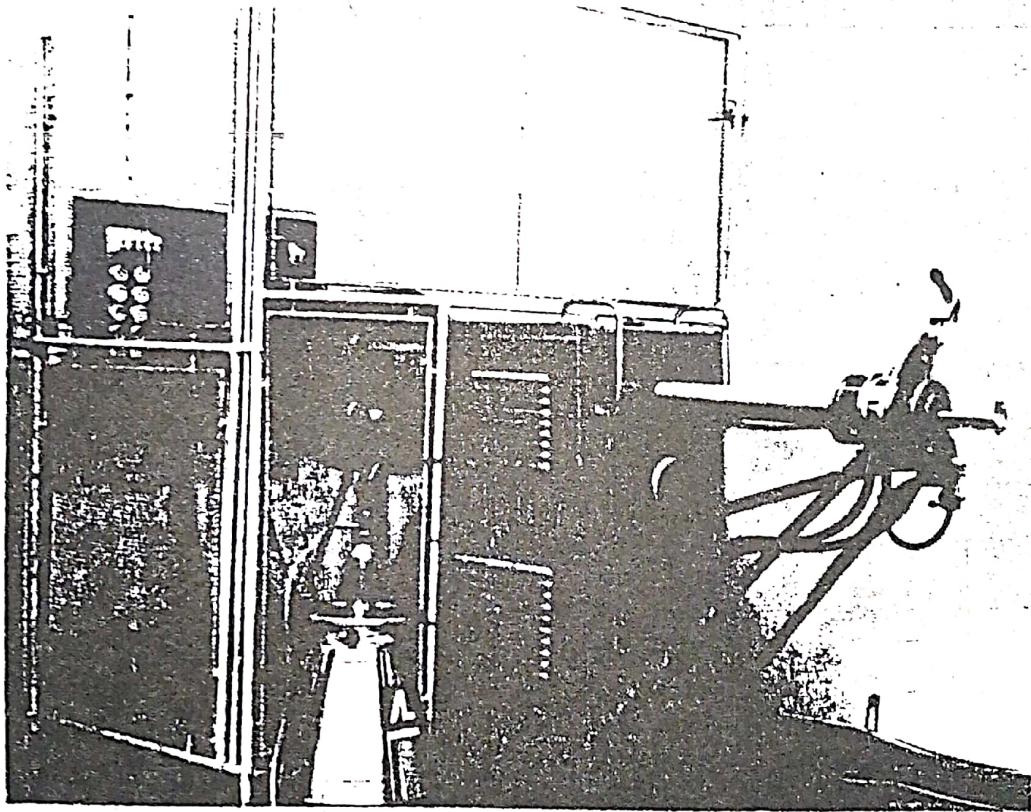
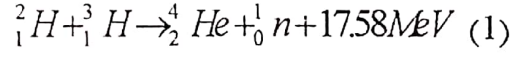
□ ملخص □

إن معرفة كيفية تباطؤ النيوترونات السريعة في أوساط مختلفة ذو أهمية كبيرة خصوصاً أثناء تصميم المفاعل النووي وأثناء عمله أيضاً. ذلك أن حجم المفاعل من جهة ومقدرة الوسط على امتصاص النيوترونات الناتجة عن الانشطار النووي من جهة أخرى يعتمدان إلى حد كبير على كمية المادة المبطنة وعلى نوعها.

تسمح لنا المولدات النيوترونية دراسة تباطؤ النيوترونات بفضل توليدها حزمة من النيوترونات السريعة يمكن التحكم بشدتها كما يمكن اختيار نوع الوسط المبطن الذي يتنازه. يوضح هذا البحث كيفية توزع النيوترونات حسب طاقتها خلال اجتيازها الماء العادي بتشعيع صفائح من الأندريوم لها عتبة كشف مناسبة.

تبلغ كثافة الحزمة النeutronية الصادرة حوالي 10^9 n/s . يوضح الشكل (1) الاطار الخارجي لمولد نوتروني نموذج 2 - NA ، ولمزيد من التفاصيل حول عمل واستخدام هذه المولدات يُمكن العودة إلى أحد المراجع التالية (1، 2، 3).

1- مولد نوتروني نموذج 2 - NA يُمكن باستخدام مولد نوتروني الحصول على حزمة فعالة من النوترونات السريعة وفق التفاعل النووي التالي:



الشكل (1). صورة فوتوغرافية لمولد نوتروني نموذج 2 - NA

2- قياس التدفق باستخدام طريقة التحليل بالتنشيط الإشعاعي:

يتم تشعيع صفائح الأندسيوم بوساطة حزمة نيوترونات صادرة عن المولد النتروني. وقد اختير عنصر الأندسيوم (^{129}In) لأنَّ له مقطع عرضي إشعاعي كبير من أجل التفاعل (n, γ)، يساوي إلى $\sigma_{act} = 145 \pm 15b$ ، كما يتحول بعد تشعيه إلى مادة مشعة لها نصف عمر كلي مناسب لإجراء القياس $T_{1/2} = 45m$ [4].

نريد تعيين تدفق النيوترونات Φ من القياس عند استخدام طريقة التنشيط الإشعاعي.

نلاحظ من تعريف المقطع العرضي، σ_{act} (لصفحة مساحتها 1cm^2 ، نخنها x ، وتحتوي N نواة) أنَّ هذه الصفحة تأسر النيوترونات بمعدل مقداره R في كل ثانية، يرتبط مع التدفق وفق العلاقة:

$$\Phi \sigma_{act} N x = R$$

وبالتالي:

$$\Phi = \frac{R}{\sigma_{act} N x} \quad (2)$$

يرتبط نصف عمر الأندسيوم المشع مع ثابتة التفكك، λ ، وفق العلاقة:

$$\lambda = \frac{\ln 2}{T_{1/2}} \quad (3)$$

كما أنَّ العمر الكلي T يساوي $\frac{1}{\lambda}$ ما نقوم به عملياً هو حساب تفكك المادة المشعة التي لها فعالية كلية ϵ . إذا عرفنا المقدار

C_0 بأنه عدد النبضات المسجلة من مادة أشبعت إشعاعياً فإنَّ حاصل القسمة مع الفعالية الكلية يُعطي:

$$R = \frac{C_0}{\epsilon} \quad (4)$$

إذا كان C معدل تسجيل النبضات أثناء زمن أقل من الزمن اللازم لإشعاع الأندسيوم فإنَّ قانون تحول المادة المشعة يُعطي:

$$C = C_0 (1 - e^{-t/\tau}) \quad (5)$$

حيث t : زمن التشعيع. نسجل عادة عدد الجسيمات الصادرة عن المادة المشعة خلال زمن يبدأ من t_1 وهو لحظة إيقاف التشعيع، وينتهي عند زمن t_2 . فإذا كان، I ، هو عدد النبضات المسجلة في الفترة الزمنية $t_2 - t_1$ ، ينتج لدينا:

$$C_0 = \frac{I}{\tau (e^{-t_1/\tau} - e^{-t_2/\tau}) (1 - e^{-t/\tau})} \quad (6)$$

باستخدام المعادلات (2)، (4)، (6) نجد أنَّ [5]:

$$\Phi = \frac{I}{\epsilon \tau \sigma_{act} N x (e^{-t_1/\tau} - e^{-t_2/\tau}) (1 - e^{-t/\tau})} \quad (7)$$

3- قياس توزع التدفق النتروني الحراري المحوري:

تمَّ تشعيع صفائح الأندسيوم على مسافات مختلفة واقعة على محور منبع المولد النتروني لمدة 20 دقيقة، باستخدام الماء العادي كمبطء لحزمة النيوترونات. وفي كل قياس يتم تسجيل التفكك الإشعاعي لمدة 10 دقائق.

باستخدام العلاقة (7) تم الحصول على النتائج المسجلة في الجدول (1):

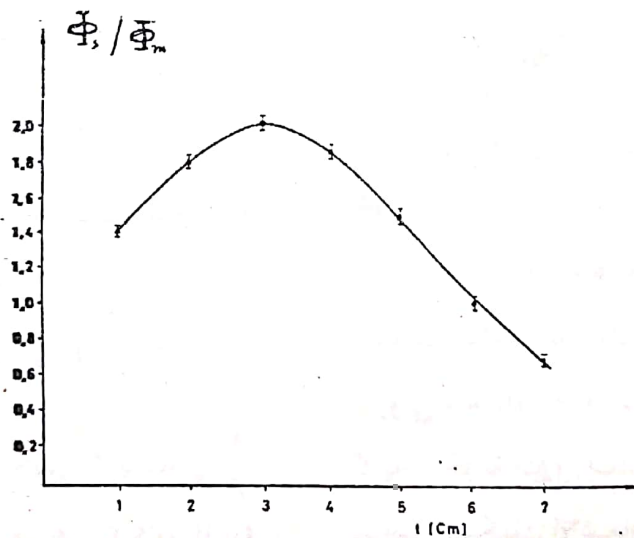
المسافة	1cm	2cm	3cm	4cm	5cm	6cm	7cm
التدفق النسبي (Φ_s / Φ_m)	1.40	1.80	2.01	1.83	1.50	1.20	0.64
الخطأ في القياس \pm	2.8%	2.6%	2.5%	2.5%	2.7%	2.9%	2.9%

الجدول (1). التدفق الحراري النسبي بدلالة المسافة.

تدفق النيوترونات السريعة يتغير بشكل أسرع وأحد [5].

وتؤكد هذه النتيجة على أن النيوترونات تفقد قسماً كبيراً من طاقتها في المرحلة الأولى من اجتيازها الماء، لتباطأ بعدها متحوّلة إلى نيوترونات حرارية. كما تُعطي فكرة واضحة عن حجم المبطئ اللازم استخداماً في المفاعل النووي لضبط عملية تباطؤ النيوترونات والتحكم بمعدل حدوث تفاعلات انشطارية بين النيوترون وبين المادة القابلة للانشطار.

يُعطى الشكل (2) العلاقة بين التدفق النيوتروني النسبي والمسافة عن فوهة المولد النيوتروني. ويتضح من الشكل تزايد التدفق النيوتروني مع تزايد المسافة عن المنبع حتى نقطة في المبطئ حيث يبلغ قيمة عظمى. وهذه النتيجة يُمكن تفسيرها على كون التدفق متناظراً من حيث المبدأ. بعد هذه النقطة في المبطئ يبدأ التدفق النيوتروني بالتناقص مع ازدياد المسافة بشكل مضطرد. يُوضح الشكل (2) أيضاً أن التدفق النيوتروني يتغير ببطء في حين أن

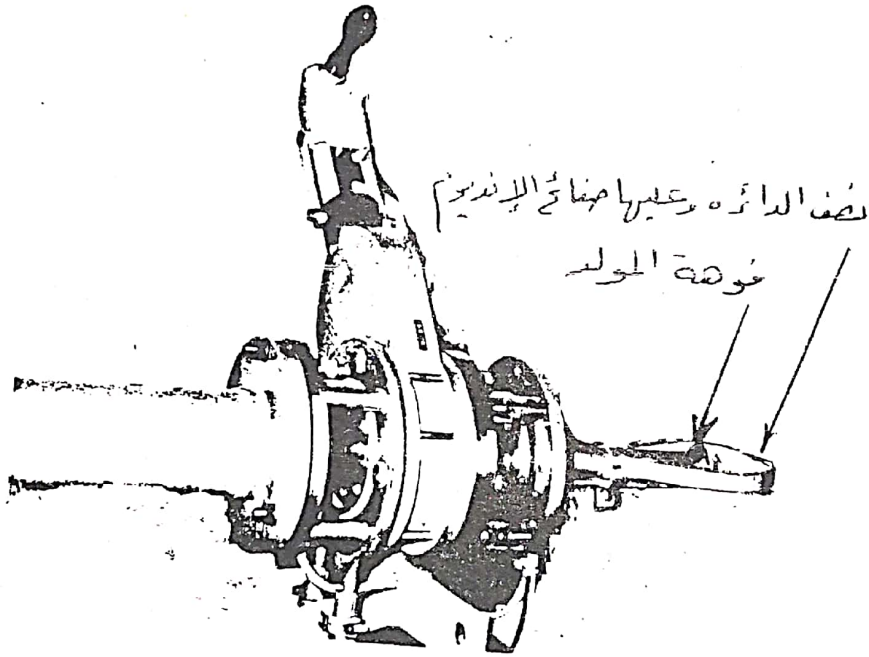


الشكل (2). توزيع التدفق النيوتروني بدلالة البعد عن المنبع.

4- قياس توزع التدفق الحراري الزاوي:

تمّ في هذه الحالة تشيع 5 صفائح من الأندسيوم نصف قطر كل منها 7 cm، بحيث وضعت على نصف دائرة، مصنوعة من الورق المقوى، حول المنبع وتصنع كل منها زاوية متساوية مع الأخرى. يُوضح الشكل (3) الترتيب الهندسي المستخدم تجريبياً. تُوضع

أنبوبة المولد النتروني منع صفائح الأندسيوم في تنكة مملوءة بالماء العادي، بحيث أنّ النترونات الصادرة من المولد تتباطأ حلاً في الماء. بعد تطبيق المعادلة (7) على نتائج القياسات الحاصلة و اجراء التنظيمات المطلوبة حصلنا على توزع التدفق النتروني الزاوي في الإحداثيات القطبية كما في الشكل (4).



الشكل (3) الترتيب الهندسي المستخدم في القياس.

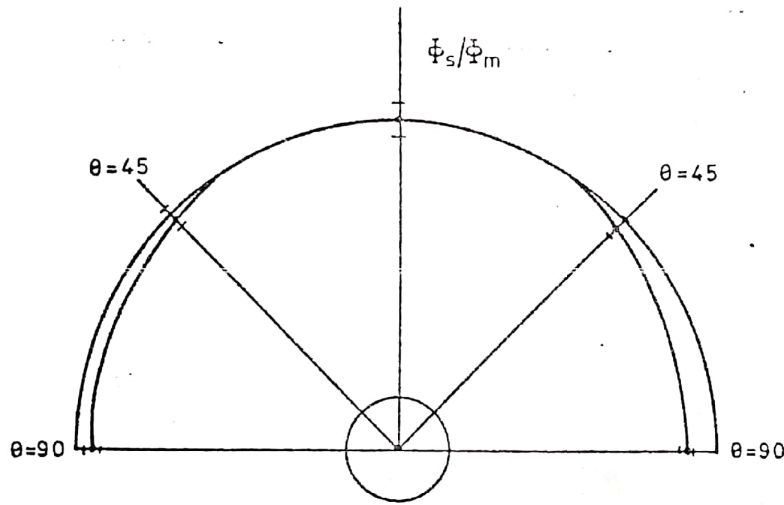
كبيراً على جانبي الخط المعامد لمحور المنبع أي عند زاوية ، وهذا يعود بالدرجة الأولى إلى أنّ المسافة التي تقطعها النترونات في أنبوبة المولد وفق هذا الإتجاه أكبر من أجل زوايا أخرى. إذا أخذنا هذه الاعتبارات يمكننا أن نؤكد أنّ توزع التدفق النتروني الزاوي متناظر بشكل تقريبي ضمن حدود خطأ مقداره 3% . بكلام آخر فإنّ التدفق النتروني الزاوي

يتضح من الشكل (4) أنّ توزع التدفق الزاوي ليس متناظراً كلية وهذا يعود لكون المولد النتروني يُعطي حزماً غير متجانسة الشدة تماماً من النترونات.

أي أنّ كثافة التدفق النتروني تعتمد على درجة كبيرة على الكمية المستهلكة من الهدف النيووني في المولد (أي على الديوتيريوم). كما نلاحظ أنّ هناك انحرافاً

الخواف [6,7].

متناظر تقريباً، بأخذ قيمة عظمى على المحور
المركزي لأنبوبة المنبع وقيمة صغرى على



الشكل (4). توزيع التدفق النيوتروني الزاوي للنترونات المتباطئة في الماء.

Abstract

Knowing how fast neutrons slowing down in different media is of great importance, especially through the design of nuclear reactor and its operation. That is because the volume of reactor and the absorption of neutrons from nuclear fission, depend largely on the amount of moderator and on its kind.

The neutron generators permit us doing these studies, since they give beam of neutrons of controlled intensity, and the kind of the moderator can be chosen also. This paper explains the neutron flux distribution as a function of energy in water used as a moderator by irradiating indium foils which has suitable threshold detection.

المراجع

- 1-Nargolwalla & Prayblowicz, Activation analisis with Neutron Generators, Wiley - Interscience (1983).
- 2-J.Csikai , Use of Small Neutron Generators in Science & Technology ,IEAE, Vunna (1973).
- 3-J.H.A,Ianiham & S.J.Thomson<Eds.,Activation Analysis. Principle & Application, Academic Prese (1965).
- 4-D.Taylor.,Neutron Irradiation & Activation Analysis. D.Van Nostrand Company., Inc., New-York (1964).
- 5-H.E.Palmer, Instrumentation for In Vivo Activation - Analysis Nuch - Sci. Ns - 17 (1970).
- 6- د . جهاد ملحم -دراسة انتاج النترونات من المولدات النترونية الصغيرة - من مجلة جامعة تشرين للدراسات والبحوث العلمية مجلد (14) (1992).
- 7- د . جهاد ملحم- قياس توزع تدفق النترونات السريعة من المولدات النترونية الصغيرة - مجلة جامعة تشرين للدراسات والبحوث العلمية مجلد (12) (1990).